

ΜΙΑ ΣΥΓΚΡΙΤΙΚΗ ΜΕΛΕΤΗ ΔΙΕΡΕΥΝΗΣΗΣ ΤΗΣ ΔΟΜΗΣ ΤΟΥ ΥΠΟΒΑΘΡΟΥ ΜΕ ΤΗΝ ΕΦΑΡΜΟΓΗ ΣΥΜΒΑΤΙΚΩΝ ΓΕΩΦΥΣΙΚΩΝ ΜΕΘΟΔΩΝ ΑΝΑΛΥΣΗΣ*

Τ.Δ. ΠΑΠΑΔΟΠΟΥΛΟΣ¹, Ι.Δ. ΑΛΕΞΟΠΟΥΛΟΣ¹, Π.Ι. ΚΑΜΠΟΥΡΗΣ¹

ΣΥΝΟΨΗ

Η μέθοδος της σεισμικής διάθλασης, η οποία κατ' εξοχήν έχει χρησιμοποιηθεί για την αποτύπωση του βραχώδους υποβάθρου σε έργα θεμελίωσης, αστόχησε να δείξει το σαφή διαχωρισμό μεταξύ του φλυσχικού και αισβετολιθικού υποβάθρου της περιοχής που ερευνήθηκε. Η αστοχία αυτή οφείλεται στη μακρο-ανισοτροπία των αισβετολιθικού σχηματισμού. Η μέθοδος της γεωηλεκτρικής βαθοσκόπησης, απεναντίας, έδωσε μεν τη δυνατότητα διαχωρισμού της φύσης του υποβάθρου, αστόχησε δε να διακρίνει το υπεροχείμενο κάλυμμα από το φλύσκη. Τέλος, στην εργασία αυτή δείχνεται ότι για την επιτυχή έκβαση μιας γεωφυσικής έρευνας απαιτείται σωστός σχεδιασμός, χρήση μοντέρνων και αποτελεσματικών μεθοδολογιών ανάλυσης και η εφαρμογή πλέον της μιας γεωφυσικών μεθόδων, ανάλογα με τη φύση του προβλήματος.

ABSTRACT

In this paper is examined the potential and effectiveness of two conventional geophysical methods in geotechnical research. The seismic refraction method that has been successfully used in the past for subsurface bedrock delineation in foundation projects, failed to indicate clear distinction between flysch and limestone bedrock material in the area under investigation. This failure is due to the macro-anisotropy structure of the limestone that resulted from joints, tectonic processes or/and karstic phenomena and later fillings of the voids with argillaceous material. The geoelectrical method of vertical sounding, on the other hand, although provided a clear distinction for the bedrock characterization, failed to distinguish the overburden cover from the underlain flysch formation. Finally, in this paper it is shown that for a successful application of geophysical work in geotechnical research, it is required effective design, utilization of modern analysis methods and handling more than geophysical methods.

ΑΞΕΙΣ ΚΛΕΙΔΙΑ: Γεωτεχνική έρευνα, Μέθοδος σεισμικής διάθλασης, Μέθοδος γεωηλεκτρικής βαθοσκόπησης, Υπόβαθρο. Ανισοτροπία, Καρστικοποίηση.

KEY WORDS: Geotechnical research, Seismic refraction method, Vertical electrical sounding, Bedrock, Anisotropy, Karstification.

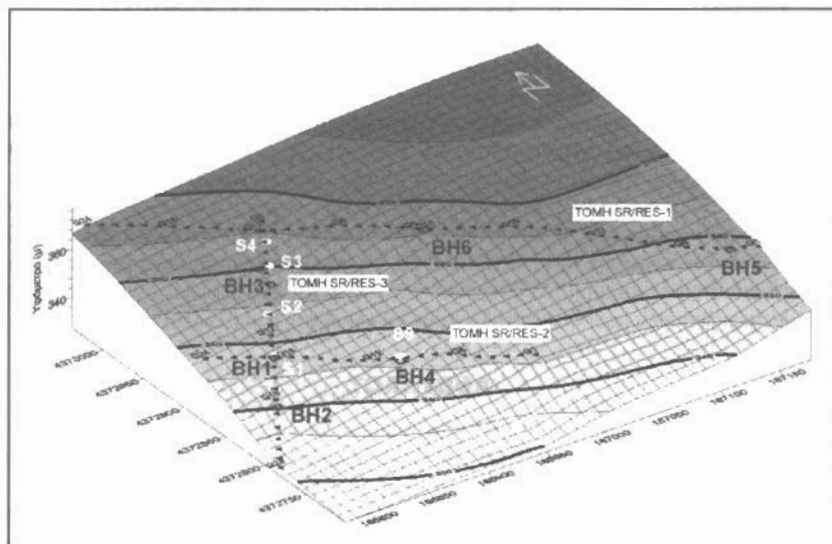
I. ΕΙΣΑΓΩΓΗ

Η χρησιμοποίηση των πλέον κατάλληλων γεωφυσικών μεθόδων για την επιλυση γεωτεχνικών και περιβαλλοντικών προβλημάτων και ο σχεδιασμός εφαρμογής τους, προϋποθέτει τη γνώση του στόχου και των ιδιαίτερων απαιτήσεων των πρόσεπιλυσης προβλημάτων. Είναι σήμερα κατανοητή και αναγκαία η διεξαγωγή μιας εμπειριοτατωμένης γεωφυσικής έρευνας, στα πλαίσια μιας ευρύτερης γεωερευνητικής εργασίας, που σκοπό έχει τη διερεύνηση της υπεραφικής δομής, όταν πρόκειται να εκτελεσθεί ένα μεγάλο τεχνικό έργο. Σε πολύπλοκες γεωτεχνικά περιπτώσεις, όπως π.χ. σε περιοχές με φαινόμενα ερπυσμού ή κατολισθητικών διεργασιών, η αναζήτηση των βάθους και της φύσης του βραχώδους υποβάθρου είναι ένα πρόβλημα που πρέπει να αντιμετωπισθεί με προσοχή. Σε τέτοιες περιπτώσεις η συνοχή των υπεροχείμενων σχηματισμών χάνεται και οι φυσικοχημικές ιδιότητες τους μεταβάλλονται. Δεδομένου ότι το υποκείμενο αδιατάραχτο στρώμα μιας κατολισθητης μπορεί να παρουσιάζει ανισοτροπία ή ανομοιογενή δομή, η επιλυση του προβλήματος γίνεται ακόμα δυσκολότερη. Στην εργασία αυτή εξετάζεται μια περιύπτωση διερεύνησης των υπεραφικών συνθηκών για το καθορισμό του βάθους και της φύσης των συμπαγούς υποβάθρου. Επιλέχθηκε μια περιοχή στο 100 χιλιόμετρο της νέας εθνικής οδού Ηγουμενίτσας-Ιωαννίνων, όπου έχουν παρατηρηθεί επιφανειακά φαινόμενα έρπουσας

* A COMPARATIVE STUDY FOR STRUCTURAL BEDROCK DELINEATION BY USING CONVENTIONAL GEOPHYSICAL METHODS
Ψηφιακή Βιβλιοθήκη "Θεόφραστος" - Τμήμα Γεωλογίας, Π.Π.Θ.
1. Τμήμα Γεωλογίας Εθνικού & Κεντρικού Πειραιών Αθηνών, Τοπεία: Γεωφυσικής-Γεωεργίας, Πανεπιστημιούπολη, Ζωγράφου, 157 84.
2. Εθνικό & Καποδιστριακό Παν/μιο Αθηνών, Τμήμα Γεωλογίας, Τομέας Γεωφυσικής-Γεωθερμίας, Πανεπιστημιούπολη, Ζωγράφου, 157 84.

ή/και κατολισθαίνουσας μάζας, η οποία υπέρχειται ενός ανομοιογενούς υποβάθρου φλυσχικής και ασβεστολιθικής σύστασης (βλ. Σχήμα 1).

Ειδικότερα, χρησιμοποιήθηκαν οι συμβατικές μέθοδοι της σεισμικής διάθλασης και της γεωηλεκτρικής βαθοσκοπήσης. Καταδεικνύεται με σαφήνεια η ανάγκη χρησιμοποίησης περισσοτέρων της μιας γεωφυσικών μεθόδων και η εισαγωγή νέων μοντέρνων μεθόδων ανάλυσης για την επίλυση πολύπλοκων γεωτεχνικών προβλημάτων.



Σχήμα 1. Τοπογραφικός χάρτης της περιοχής έρευνας που δείχνει τις θέσεις των σεισμικών τομών, των γεωηλεκτρικών βαθοσκοπήσεων (S-) και των γεωτρήσεων (BH-).

Topographic map of the area under investigation, showing the location of seismic sections, geoelectrical soundings (S-) and boreholes (BH-).

2. Ο ΣΧΕΔΙΑΣΜΟΣ ΤΗΣ ΓΕΩΦΥΣΙΚΗΣ ΕΡΕΥΝΑΣ

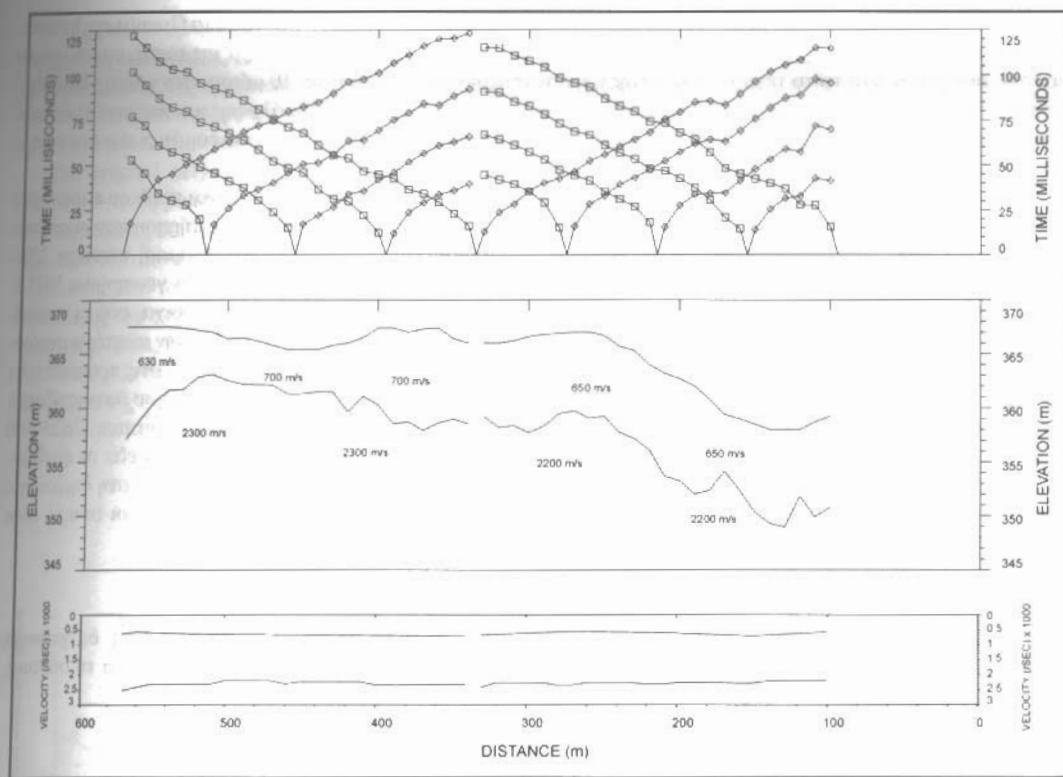
Δεν είναι αισύνηθες το φαινόμενο να ζητείται η εκτέλεση μιας γεωφυσικής έρευνας για την επίλυση ενός γεωτεχνικού ή περιβαλλοντικού προβλήματος, μόνο όταν συναντώνται δυσκολίες στην εκτέλεση κυρίων γεωτητικών εργασιών. Για να ανταποκριθεί μια γεωφυσική έρευνα με επιτυχία στις απαιτήσεις ενός τεχνικού έργου, πρέπει να έχουν καθορισθεί ο στόχος και η φύση του προβλήματος, η καταλληλότητα της μεθοδολογίας που θα ακολουθηθεί, οι επι πλέον εργασίες που απαιτούνται (π.χ. τοπογραφικές εργασίες, ο ελάχιστος αριθμός γεωτρήσεων, κ.α.), η χρήση του κατάλληλου εξοπλισμού και των πακέτων λογισμικού για την επεξεργασία και ερμηνεία των δεδομένων και των αποτελεσμάτων αντίστοιχα, κ.α.

Ο προσδιορισμός π.χ. των βραχώδων ή φλυσχικού/ασβεστολιθικού υποβάθρου αποτελεί ένα στόχο, ο οποίος θεωρητικά μπορεί να λυθεί εύκολα με την εφαρμογή της μεθόδου της σεισμικής διάθλασης. Εάν όμως το υπόβαθρο παρουσιάζει ανισοτροπία λόγω διάβρωσης, αποσάθρωσης, κερματισμού, καρυτικοποίησης ή/και πλήρωσης με αργιλικό υλικό, απαιτείται περαιτέρω διερεύνηση της δομής του. Σε τέτοιες περιπτώσεις η γεωφυσική έρευνα δε δίνει μονοσήμαντες λύσεις με την εφαρμογή μιας μόνο γεωφυσικής μεθόδου, λόγω των αντίστοιχων διακυμάνσεων που παρουσιάζονται στις φυσικές ιδιότητες του υποβάθρου (π.χ. της πυκνότητας, της ταχύτητας διάδοσης των σεισμικών κυμάτων, της ειδικής αντίστασης, κ.α.).

Στην εργασία αυτή χρησιμοποιήθηκε αρχικά η συμβατική μέθοδος της σεισμικής διάθλασης ως η πλέον καπάλληλη για τη απεικόνιση του αναγλύφου του φλυσχικού/ ασβεστολιθικού υποβάθρου της περιοχής έρευνας. Μετά την ανάλυση και ερμηνεία των γεωφυσικών δεδομένων διαπιστώθηκε ότι δεν ήταν εφικτός ο διαχωρισμός μεταξύ του φλυσχικού και ασβεστολιθικού σχηματισμού. Στη συνέχεια διεξήχθηκε και γεωηλεκτρική έρευνα για το σαφή διαχωρισμό του υποβάθρου με θετικά αποτελέσματα.

3. ΣΕΙΣΜΙΚΗ ΔΙΑΣΚΟΠΗΣΗ

Ψηφιακή Βιβλιοθήκη "Θεόφραστος" - Τμήμα Γεωλογίας Α.Π.Θ.



Σχήμα 2. Απεικόνιση των δρομο-χρονικών καμπύλων (άνω), της γεωσεισμικής δομής (μέσον) και της κατανομής των σεισμικών ταχυτήτων (κάτω), που προέκυψαν με τη μέθοδο GRM κατά μήκος της τομής SR/RES-1.

Diagrams showing travel time curves (top), subsurface structure (middle) and seismic velocity distribution (below), resulted from GRM method along the section SR/RES-1.

ρευνα (Παπαδόπουλος κ.α., 1992, Louis et.al., 1995, Bruno and Godio, 1997, Olson et.al., 1997, Phillips et.al., 1997, κ.α.). Οι απαιτήσεις ενός γεωτεχνικού προβλήματος μπορεί να είναι κάθε φορά διαφορετικές. Σε μικρά έργα θεμελίωσης ενδιαφέρει η επιφανειακή δομή μέχρι βάθους ολίγων μέτρων, ενώ για την κατασκευή ενός μεγάλου τεχνικού έργου ενδιαφέρει η δομή του υπεδάφους ορισμένων δεκάδων μέτρων.

Τα τελευταία χρόνια έχει χρησιμοποιηθεί με επιτυχία στη γεωτεχνική έρευνα η μέθοδος GRM (Palmer, 1981) καθώς και η πρόδρομος αυτής Plus-Minus (Hagedoorn, 1959). Η GRM μέθοδος αυτή δίνει αξιόπιστα αποτελέσματα στην αποτύπωση του υποβάθρου σε περιπτώσεις έντονης διακύμανσης του αναγλύφου του (Rogers et.al., 1997). Έχει επίσης χρησιμοποιηθεί για τον προσδιορισμό του αναγλύφου και της πλευρικής μεταβολής της σεισμικής ταχύτητας του υποβάθρου, μη λαμβάνοντας υπόψη τη δομή του υπερχείμενου καλλίματος, το οποίο χαρακτηρίζεται από συνεχείς εναλλαγές στρωμάτων λεπτόκοκκης και αδρομερούς σύστασης (Papadopoulos T.D. and Alexopoulos J., 1996, Papadopoulos et.al., 1997). Αντίθετα, η μέθοδος GRM έχει αποδειχθεί πρόσφατα (Sjogren, 2000), ότι δεν είναι η πλέον κατάλληλη για την επίλυση γεωτεχνικών προβλημάτων, όπου δηλαδή απαιτείται λεπτομερής χαρτογράφηση του βάθους και της δομής του υποβάθρου καθώς και των υπερχείμενων στρωμάτων.

Η ανάγκη εφαρμογής της σεισμικής μεθόδου διάθλασης για την άμεση εξαγωγή χρήσιμων στοιχείων, ιδιαίτερα σε προβλήματα που εμφανίζονται κατά την εκτέλεση κατασκευής ενός έργου, πολλές φορές οδηγεί σε κακό σχεδιασμό της γεωφυσικής έρευνας, με συνέπεια τα προκύπτοντα στοιχεία να έχουν περιορισμένη αξία. Σ' αυτές ιδιαίτερα τις περιπτώσεις πρέπει η εμπινεών των γεωσεισμικών αποτελεσμάτων να βοηθείται και από άλλες ανεξάρτητες παραπτήρησις, όπως π.χ. γεωτρητικές έρευνες, γεωφυσικές διαγραφίες μέσα σε γεωτρήσεις, γεωλογικές χαρτογραφήσεις, στοιχεία άλλων γεωφυσικών μεθόδων, κ.α.

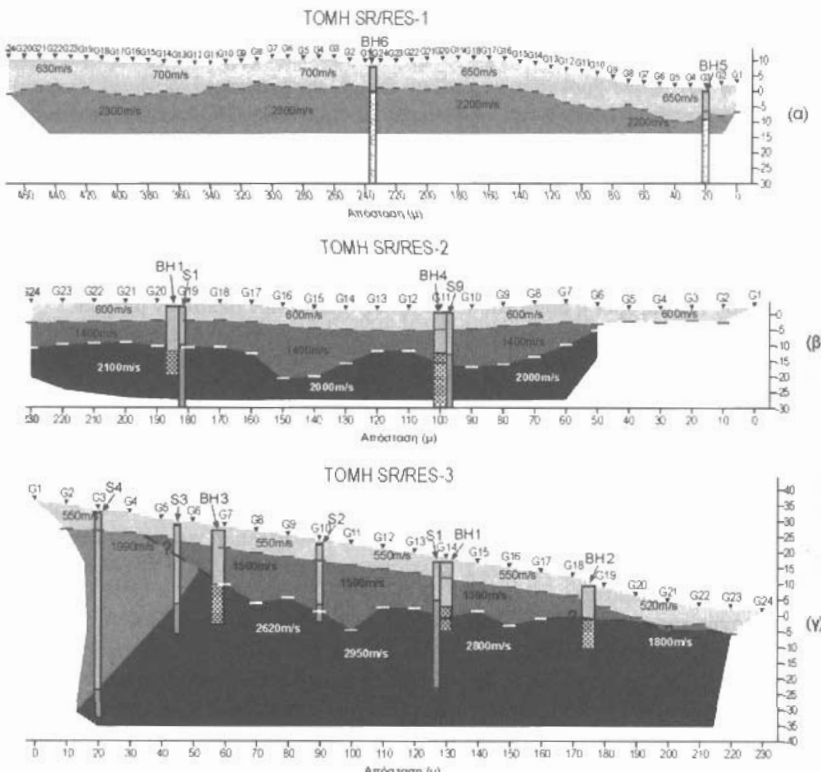
Στην εργασία αυτή έξετάζεται μια περίπτωση διερεύνησης του αναγλύφου και της φύσης του υποβάθρου με την εφαρμογή της μεθόδου GRM. Ουσιαστικά στόχος της έρευνας είναι ο εντοπισμός της επαφής μεταξύ του φλυσχικού και ασβεστολιθικού υλικού που αποτελούν το υπόβαθρο της περιοχής έρευνας.

Η επεξεργασία και ερμηνεία των δεδομένων στηρίχθηκε στο υπόλογιστικό πρόγραμμα Gremixs της Interpre. Συνολικά έγιναν πέντε εκρήξεις για κάθε ανάπτυγμα γεωφύσων (ανά μια στα άκρα της τομής, μια στο μέσο και δύο στο πρώτο και τρίτο τέταρτο της τομής), η απόσταση των οποίων ήταν 10 μέτρα. Δεν υπήρχε δυνατότητα εκτέλεσης μακρινών εκρήξεων (πέραν από τα άκρα της τομής), λόγω δασοκάλυψης και παρουσίας έντονης τοπογραφικού αναγλύφου. Στο σχήμα 2 παρουσιάζεται η συνολική εικόνα των αποτελεσμάτων των δύο σειρών αναπτυγμάτων της τομής SR/RES-1.

Στο σχήμα 3 παρουσιάζονται τρεις σεισμικές τομές (3α, 3β & 3γ), οι δύο πρώτες είναι περόπου παράλληλες μεταξύ τους και η τρίτη τέμνει εγκάρδια τις δύο άλλες (βλ. σχήμα 1). Η πρώτη παρατήρηση που προκύπτει είναι ότι στις δύο παράλληλες τομές, το υπόβαθρο παρουσιάζεται με ομοιομορφη σεισμική ταχύτητα 220-2300 m/s (2α) και 2000-2100 m/s (2β), αντίστοιχα. Σύμφωνα με τα γεωτρητικά στοιχεία οι γεωτρήσεις BH1 & BH4 έχουν εντοπίσει κερματισμένο ασβεστολιθικό υλικό σε βάθη 14 & 13 μέτρα αντίστοιχα, ενώ οι γεωτρήσεις BH5 & BH6 έχουν συναντήσει φλυστικό υλικό σε βάθη 9 & 8 μέτρα αντίστοιχα. Έκ των ανωτέρω συνάντησηών ται ότι δεν είναι εφικτός ο διαχωρισμός της φύσης του βραχώδους υποβάθρου στηριζόμενοι στις προκυπτουσιακές της σεισμικής ταχύτητας. Αντίθετα, το βάθος και ιδιαίτερα το ανάγλυφο του υποβάθρου απεικονίζονται με σχετικά καλή ακρίβεια. Η εγκάρδια τομή παρουσιάζει υψηλότερες τιμές σεισμικής ταχύτητας (2620-2950 m/s), και κατά περίπτωση πολύ μικρότερες (1800 m/s), οι οποίες όμως μπορούν να αποδοθούν είτε σε φανόμενα ανισοτροπίας του υποβάθρου (λόγω καροτικοποίησης και πλήρωσης με αργυρικό υλικό) ή στη δημιουργία μέσων (αρμονικών) σεισμικών ταχυτήτων λόγω τοπογραφικού και υπεδαφικού αναγλύφου, οι οποίες είναι υπερεκτιμημένες όταν οι κλίσεις έχουν αντίθετα πρόσημα (Sjogren, 1984).

4. ΓΕΩΗΛΕΚΤΡΙΚΗ ΔΙΑΣΚΟΠΗΣΗ

Οι ηλεκτρικές ιδιότητες του φλύσηρη και του ασβεστολίθου παρουσιάζουν σαφή μεταξύ τους διαχωριστική χωρίς δύμας την ουσιαστική επίδραση δευτερογενών διεργασιών που αλλοιώνουν τη συνοχή και τη σύσταση σόσου και τη συνολική συμπεριφορά τους στις ηλεκτρικές ιδιότητες.

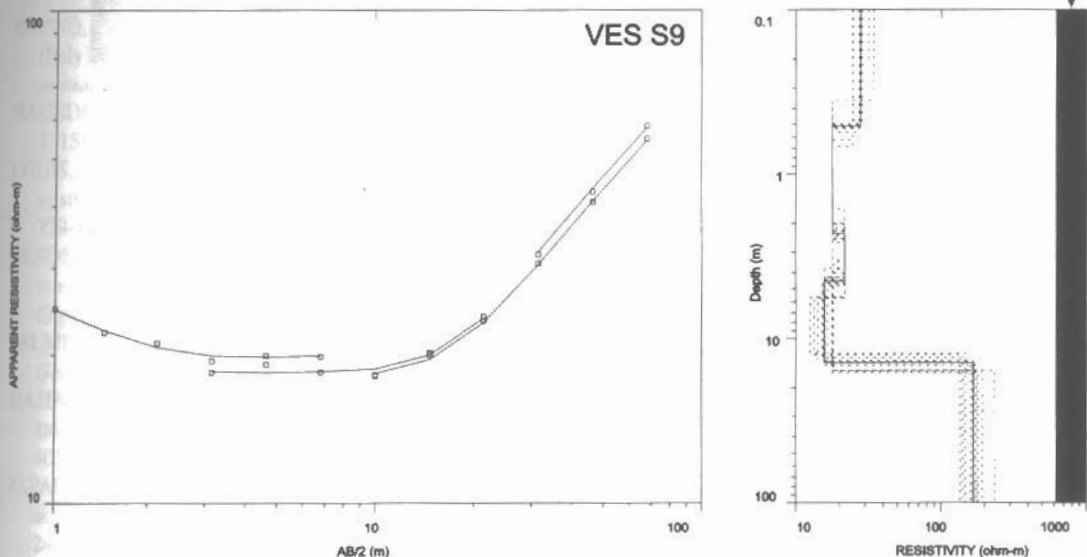


Σχήμα 3. Τρεις σεισμικές τομές (α, β, γ) με ενωματωμένα τα αποτελέσματα της γεωηλεκτρικής έρευνας (S-) και τα στοιχεία των γεωτρήσεων (BH-).

Ψηφιακό Βιβλιοθήκη "Θεόφραστος" - Τμήμα Γεωλογίας, Α.Π.Θ.

Χρησιμοποιήθηκε η μέθοδος της γεωηλεκτρικής βαθοσκόπησης για το διαχωρισμό κυρίως της φύσης του βραχώδους υποβάθρου, ελέγχοντας τοιουτορόπως τα αποτελέσματα της σεισμικής έρευνας με μια άλλη ανεξάρτητη μέθοδο. Πραγματοποιήθηκαν αρχικά γεωηλεκτρικές μετρήσεις πλησίον θέσεων γεωτρήσεων για τη βαθμονόμηση των γεωηλεκτρικών αποτελεσμάτων (π.χ. πλησίον των γεωτρήσεων BH1 & BH4) και στη συνέχεια κατά μήκος της εγκάρδιας σεισμικής τομής του σχήματος 2γ (βαθοσκοπήσεις S2, S3 & S4).

Στο σχήμα 4 δείχνεται το αποτέλεσμα της επεξεργασίας με το υπολογιστικό πρόγραμμα της Interrex ResixPlus για τη βαθοσκόπηση S9, όπου συμπεριλαμβάνονται εκτός από τις αρχικές τιμές των δεδομένων, οι υπολογισθείσες και το μοντέλο κατανομής της ειδικής αντίστασης μετά τον βάθος. Σύμφωνα με τα προκύπτοντα αποτελέσματα το ασβεστολιθικό υπόβαθρο σαφώς παρουσιάζει υψηλότερες μέσες τιμές ειδικής αντίστασης από το φλυσχικό σχηματισμό ($>100 \Omega\text{m}$ έναντι $20 \Omega\text{m}$, αντίστοιχα). Αντίθετα, οι τιμές της ειδικής αντίστασης του ασβεστολιθικού υποβάθρου δεν είναι αρκετά υψηλές ώστε να χαρακτηρισθεί το υπόβαθρο ως συμπαγές. Έτσι, δείχνεται ότι το ασβεστολιθικό υπόβαθρο παρουσιάζει μια ανισοτροπία, η οποία μπορεί να οφελεται είτε σε φαινόμενα κερδατισμού ή/και καρστικοποίησης, πράγμα που ενισχύεται και από τα αποτελέσματα της σεισμικής έρευνας.



Σχήμα 4. Τυπική παρουσίαση των αποτελεσμάτων της γεωηλεκτρικής βαθοσκόπησης S9. Τα δεδομένα υπαίθρου παρουσιάζονται με κύκλους και οι υπολογισθείσες τιμές με συνεχείς γραμμές (αριστερά). Παρουσιάζεται επίσης η κατανομή της ειδικής αντίστασης με το βάθος (συνεχής γραμμή), με το εύρος των ισοδύναμων λύσεων (διαχειριζόμενες γραμμές), καθώς και τα δεδομένα της γεωτρήσης BH4 που βρίσκεται πλησίον της βαθοσκόπησης S9 (δεξιά).

Typical presentation of the results of VES S9. Raw data (circles) and calculated values (continuous lines) are shown (left) and model parameters with the range of equivalent solutions (dashed lines) as well as data of borehole BH4 which lies near sounding S9 (right).

Σύμφωνα με τα αποτελέσματα της γεωηλεκτρικής έρευνας, ο φλύσχης παρουσιάζει ένα εύρος τιμών ειδικής αντίστασης που κυμαίνεται μεταξύ 5 & 15 Ωm και ο ασβεστολιθος με τιμές που κυμαίνονται μεταξύ 60 & 450 Ωm. Κατά θέσεις το υπερκείμενο κάλυμμα παρουσιάζει υψηλές σχετικά τιμές ειδικής αντίστασης (80-90 Ωm), αλλά ο διαχωρισμός μεταξύ του υπερκείμενου καλύμματος και του φλύσχη δεν είναι γενικά εφικτός, διότι παρουσιάζουν παρόμοιες χαμηλές ειδικές αντιστάσεις ιδιαίτερα κοντά στη επαφή τους. Το πρόβλημα αυτό αντιμετωπίζεται με βάση τα αποτελέσματα της σεισμικής έρευνας, όπου σαφώς διαχωρίζονται οι σεισμικές ταχύτητες του υπερκείμενου καλύμματος και του φλύσχη (650 & 2300 m/s, αντίστοιχα).

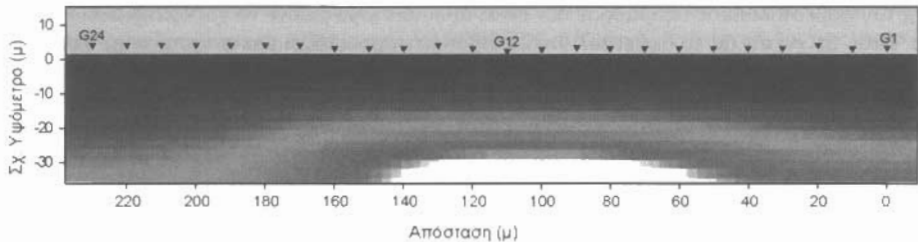
5. ΣΥΓΚΡΙΤΙΚΗ ΠΑΡΟΥΣΙΑΣΗ ΤΩΝ ΑΠΟΤΕΛΕΣΜΑΤΩΝ

Στο σχήμα 3 έχει ενσωματωθεί η βιβλιοθήκη "Θεόφραστος" για την θεμέλια γεωλογίας. Από τη γεωτρήση και γεωφυσική έρευνα. Στο σχήμα 3γ δείχνεται η υπό κλίση επαφή μεταξύ του φλύσχη και του ασβεστολίθου

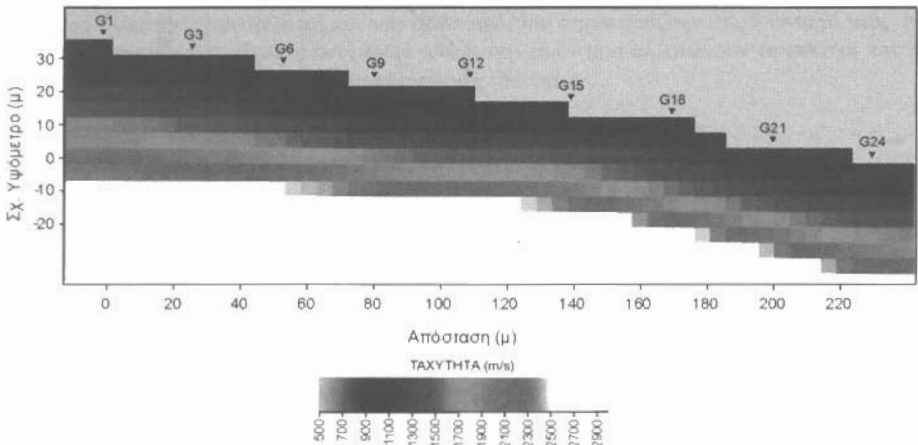
(κάτω από τα γεώφωνα G2-G6), η οποία έχει προκύψει από τη γεωλογική έρευνα. Η προς βιοράν κλίσης επαφής αυτής βρίσκεται σε συμφωνία με τη γενικότερη γεωλογική δομή της περιοχής. Στην ίδια τοπίο δείχνεται επίσης η επαφή μεταξύ του υπερχειμένου καλύμματος και του φλύση, η οποία έχει προκύψει από τη σεισμική έρευνα (κάτω από τα γεώφωνα G2-G4).

Η αιρίβεια προσδιορισμού του βάθους του ασβεστολίθου που επιτυγχάνεται με την εφαρμογή των εν λόγω γεωφυσικών μεθόδων, μπορεί να εκτιμηθεί από τη βαθμονόμηση αυτών με τα στοιχεία των γεωλογικών ερευνών. Γενικά, εκτιμάται ότι υπάρχει μια ικανοποιητική συμφωνία και αξιοπιστία των γεωφυσικών αποτελεσμάτων, αν και η εκτίμηση αυτή εξαρτάται από τις απαιτήσεις του έργου κάθε φορά.

TOMH SR-2



TOMH SR-3



Σχήμα 5. Απεικόνιση των σεισμικών τομών SR-2 και SR-3 μετά την επεξεργασία των δεδομένων με τη μέθοδο της τομογραφίας σεισμικής διάθλασης.

Presentation of seismic lines SR-2 and SR-3 after data processing with the method of seismic refraction tomography.

6. ΒΕΛΤΙΣΤΟΠΟΙΗΣΗ ΤΗΣ ΓΕΩΦΥΣΙΚΗΣ ΕΡΕΥΝΑΣ

Ένας καλύτερος σχεδιασμός της γεωφυσικής έρευνας θα μπορούσε να βιοθήσει στη διερεύνηση της υπεδαφικής δομής με περισσότερη λεπτομέρεια και αξιοπιστία.

Συγκεκριμένα, η χρησιμοποίηση μικρότερου μήκους αναπτυγμάτων (από 230 μ σε 115 μ), με ταυτόχρονη αύξηση του αριθμού των σεισμικών πηγών (από 5 σε 7 πηγές ή και περισσότερες) και μείωση της απόστασης μεταξύ των γεώφωνων (από 10μ σε 5μ), θα έδινε τη δυνατότητα της λεπτομερούς απεικόνισης του υποβάθρου και της εφαρμογής πιο μοντέρνων και αποτελεσματικών μεθόδων ανάλυσης (όπως π.χ. της τομογραφίας σεισμικής διάθλασης, κ.α.). Με τη ήδη υπάρχοντα δεδομένα της σεισμικής διάθλασης, έγινε προσπάθεια να χρησιμοποιηθεί η μέθοδος τομογραφίας σεισμικής διάθλασης με την τεχνική που έχουν αναπτύξει οι Zhang και Toksoz (1998). Στο σχήμα 5 παρουσιάζονται τα αποτελέσματα κατά μήκος των τομών SR-2 και SR-3, οι οποίες τέμνονται στα γεώφωνα G19 (SR-2) και G13 (SR-3). Παρατηρείται καλή ταύτιση της κατανομής της σεισμικής ταχύτητας στο σημείο τομής των δύο σεισμικών γραμμών. Αντίθετα, δεν υπάρχει συμφωνία μεταξύ των αποτελεσμάτων αυτών και

Ψηφιακή Βιβλιοθήκη "Θεόφραστός" + Τμήμα Γεωλογίας. Α.Π.Θ. αριθμητικών στοιχείων.

κοιμένα, το ασβεστολιθικό υπόβαθρο με ταχύτητες >2500 m/s παρουσιάζεται βαθύτερα, γεγονός που αποδίδεται στην αραιή πυκνότητα των σεισμικών ακτίνων, λόγω κυρίως της μη κατάλληλης χωρικής κατανομής των γεωφάνων και του μικρού αριθμού των εκρήξεων. Η χρήση επίσης της γεωηλεκτρικής τομογραφίας θα έδινε τη δυνατότητα της λεπτομερούς χαρτογράφησης της επαφής μεταξύ του φλυσχικού και ασβεστολιθικού υποβάθρου.

7. ΣΥΜΠΕΡΑΣΜΑΤΑ

Στην εργασία αυτή μελετήθηκε μια περύπτωση προσδιορισμού του αναγλύφου του υποβάθρου και της φύσης του, με την εφαρμογή των συμβατικών μεθόδων της σεισμικής διάλλασης και της γεωηλεκτρικής βαθοσκόπησης. Δείχνεται με σαφήνεια η αναγκαιότητα εφαρμογής, σε ειδικές περιπτώσεις, πλέον της μιας γεωφυσικών μεθόδουν και η χρήση μοντέρνων μεθοδολογιών ανάλυσης, επεξεργασίας και ερμηνείας των γεωφυσικών δεδομένων και αποτελεσμάτων, για τη λεπτομερή απεικόνιση της υπεδαφικής δομής.

ΒΙΒΛΙΟΓΡΑΦΙΑ

- BRUNO, P.P.G. and GODIO, A. 1997. Environmental risk assessment of a shallow aquifer in "Piana Campana" (Italy): a field comparison between seismic refraction and reflection methods. *European Journal of Environmental and Engineering Geophysics* 2, 61-76.
- HAGEDOORN, J.G. 1959. The plus-minus method of interpreting seismic refraction sections. *Geophys. Prosp.*, 7, 158-182.
- LOUIS, J., PAPADOPOULOS, T.D., DRAKATOS, G. & PANTZARTZIS, P. 1995. Conventional and modern seismic investigations for rock quality determination at a dam site - a case study. *Geophys. Prosp.*, Vol. 43, 779-792.
- OLSON, M., PRASHAR, Y. and INEL, S. 1997. Seismic refraction and downhole velocity surveys for investigation of the Tinemaha dam Inyo County, California. *Proc. of the Symp. on the Application of Geophysics to Engineering and Environmental Problems (SAGEEP)*, March 23-26, Reno Nevada, Vol. I, 345-354.
- PALMER, D. 1981. An introduction to the generalized reciprocal method of seismic refraction interpretation. *Geophysics*, 46, 1508-1518.
- ΠΑΠΑΔΟΠΟΥΛΟΣ, Τ.Δ., ΛΟΥΗΣ, Ι. και ΠΑΝΤΖΑΡΤΖΗΣ, Π. 1992. Γεωφυσικός καθορισμός σύνθετης επιφάνειας ολίσθησης σε Γρανιτο-γνευσιακή μάζα. *Annales Geologiques Des pays Helléniques*, Τόμος 35, 401-412.
- PAPADOPOULOS, T.D. and ALEXOPOULOS, J. 1996. Combined geophysical investigations for site soil characterization of Grevena-Kozani meizoseismal area. *Int. Meeting on Results of the May 13, 1995 earthquake, 24-27 May* (ἀρ. 6άρ. 4).
- PAPADOPOULOS, T.D., STAVRAKAKIS, G.N., ALEXOPOULOS, J., KAMBOURIS, P. and VOULGARIS, N. 1997. Combined geophysical methods for subsurface characterization in the framework of microzoning studies. *Proc. of the IAEG Intern. Symp. on Engineering Geology and the Environment*. Athens, Greece, 23-27 June, 1419-1424.
- PHILLIPS, D., GRIMM, R. and HOESTRA B. 1997. Mapping bedrock topography with seismic refraction at an oil and gas field: A comparison of engineering and petroleum exploration methods at a site in the Wind River Basin of Wyoming. *Proc. of the Symp. on the Application of Geophysics to Engineering and Environmental Problems (SAGEEP)*, March 23-26, Reno Nevada, Vol. I, 373-375.
- ROGERS, N.T., SANBERG, S.K., MILLER, P. and POWELL, G. 1997. Mapping a near surface variable geologic regime using an integrated geophysical approach. *Proc. of the Symp. on the Application of Geophysics to Engineering and Environmental Problems (SAGEEP)*, March 23-26, Reno Nevada, Vol. I, 463-472.
- SJOGREN, B. 1984. Shallow refraction seismics. *Chapman and Hall*. London New York, 268.
- SJOGREN, B. 2000. A brief study of applications of the generalized reciprocal method and of some limitations of the method. *Geophys. Prosp.*, 48, 1-21.